

И.Н. Радимов, канд. техн. наук,  
В.В. Рымша, д-р техн. наук,  
Чан Тхи Тху Хыонг, З.П. Процина

*Выполнен поиск геометрических соотношений активной зоны вентильного двигателя с постоянными магнитами, обеспечивающих минимизацию величины реактивного момента.*

*Виконано пошук геометрических співвідношень активної зони вентильного двигуна з постійними магнітами, які забезпечують мінімізацію величини реактивного моменту.*

*The search of the geometrical ratio of the active zone of the brushless DC motor, which are provide the minimization of the cogging torque.*

## ВЫБОР ГЕОМЕТРИИ ВЕНТИЛЬНОГО ДВИГАТЕЛЯ С ПОСТОЯННЫМИ МАГНИТАМИ

Вентильные двигатели с постоянными магнитами (ВДПМ) на сегодняшний день находят самое широкое применение в системах автоматизации технологических процессов [1,2]. Это связано с доступностью высококоэрцитивных постоянных магнитов (ПМ) и развитием полупроводниковой техники. При серийном производстве ВДПМ на первый план выходит упрощение технологии их изготовления и, следовательно, снижение себестоимости производства. Одним из возможных вариантов решения данной проблемы является применение в ВДПМ явнополюсного статора с сосредоточенными катушками его обмотки (рис. 1).

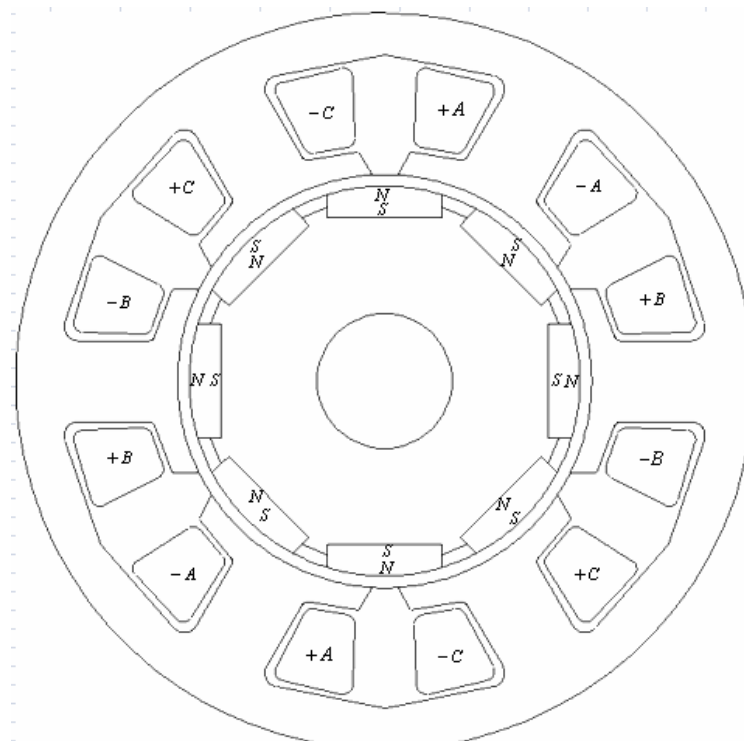


Рис. 1.

Для примера (см. рис.1) при числе зубцов (пазов) статора  $Z_1 = 6$  выполняется обмотка с числом фаз  $m = 3$ . Число полюсов ротора  $2p = 8$ . При этом соблюдается симметрия обмотки статора, имеющей дробное число пазов на полюс и фазу:

$$q = \frac{Z_1}{2p \cdot m} = \frac{6}{8 \cdot 3} = \frac{1}{4}$$

Шаг обмотки по пазам:  $y = 1$ , т.е. катушки имеют минимальные

по длине лобовые части.

В то же время явнополюсная структура статора ВДПМ и связанная с этим неравномерность воздушного зазора приводит к возникновению реактивных моментов как от действия МДС постоянных магнитов, так и от действия МДС реакции якоря. Наиболее существенное влияние на свойства и характеристики электроприводов с ВДПМ оказывает реактивный момент  $M_p$  от действия МДС постоянных магнитов. Существует несколько способов уменьшения отрицательного влияния этого реактивного момента, а именно: скос зубцов (пазов) статора, либо скос ПМ, находящихся на роторе; сдвиг ПМ в несколько ступеней; вырезы на поверхности полюсного башмака [3,4]. Указанные способы являются достаточно эффективным инструментом в борьбе с реактивным моментом. Однако их применение ведет к усложнению технологии изготовления ВДПМ. В этой ситуации представляется целесообразным таким образом подобрать геометрические соотношения активной зоны двигателя, чтобы получить минимально возможный реактивный момент при токе статора  $I_s = 0$  и, тем самым, избежать необходимости применения способов снижения  $M_p$ , ведущих к удорожанию ВДПМ.

Решение сформулированной задачи проведем для двигателя с наружным диаметром статора 81 мм и длиной пакета 45 мм. Материал постоянных магнитов – NdFeB. Номинальный момент двигателя – 1 Нм.

В качестве исходных варьируемых геометрических размеров примем (рис. 2):

- длину воздушного зазора  $\delta$ ;
- полюсную дугу магнита  $\alpha_{mag}$ ;
- дугу шлица  $\alpha_{slot}$ .

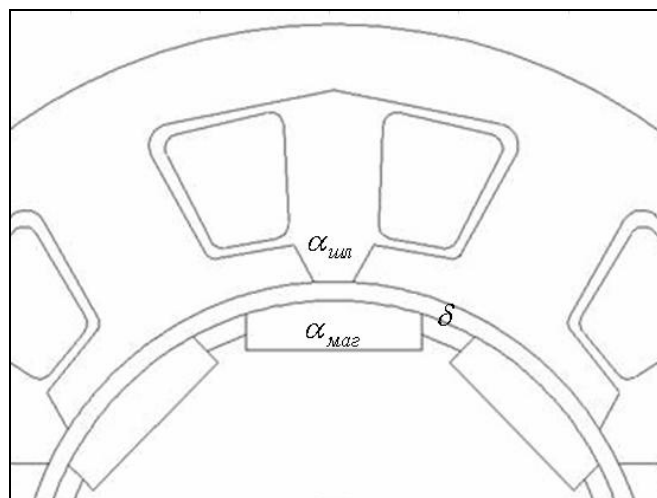


Рис. 2.

Целевой функцией служит минимальная величина амплитуды реактивного момента  $M_{Pmax}$ , т.е.  $M_{Pmax} \Rightarrow \min$ , определяемая по результатам расчета магнитного поля ВДПМ методом конечных элементов (рис. 3).

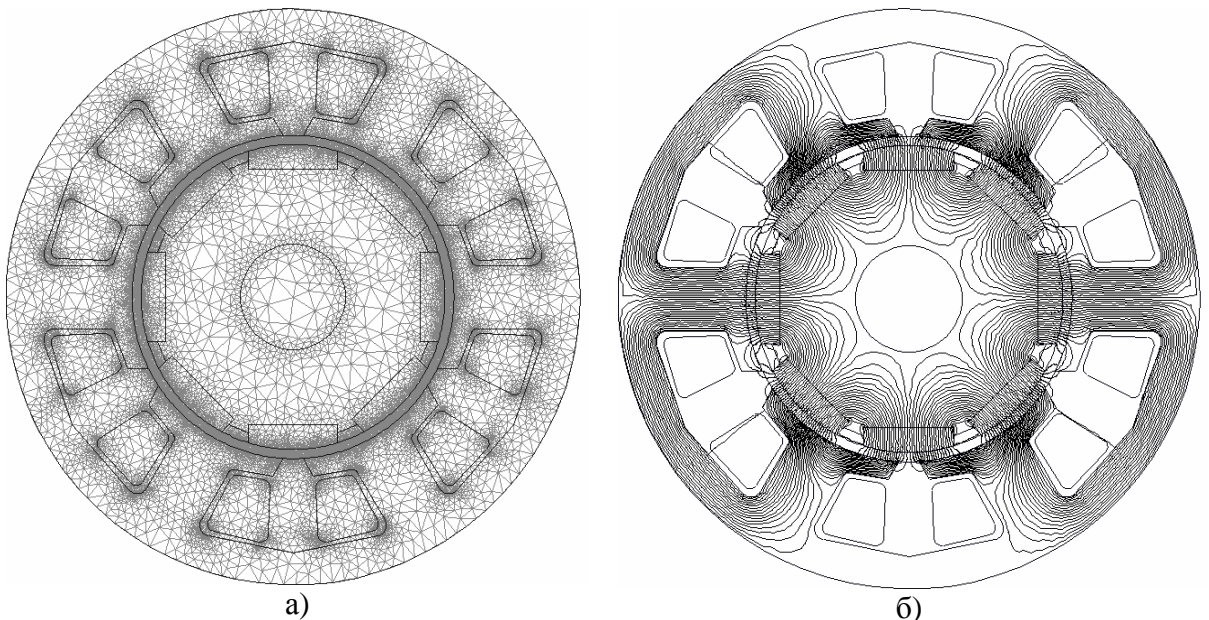


Рис. 3. Разбивка расчетной области на конечные элементы (а) и распределение магнитного поля для одного из расчетных вариантов (б)

Для обзора области исследования пределы изменения варьируемых переменных приняты следующими (см. табл. 1).

Таблица 1

Переменная	Размерность	Минимальное значение	Максимальное значение
$\delta$	мм	0,7	1,6
$\alpha_{mag}$	град.	32	36
$\alpha_{ill}$	град.	6	12

Первоначально, методом случайного поиска, был определен ряд из 19 вариантов сочетания варьируемых переменных, для которых проводился расчет зависимости  $M_P = f(\Theta)$  при изменении угла поворота ротора ВДПМ в пределах ( $\Theta=0\div45$ ) градусов с шагом 0,5 градуса. По результатам расчетов вычислялась амплитуда  $M_{P\max}$ .

Исходные данные и результаты расчетов величины  $M_{P\max}$  сведены в таблицу 2.

Таблица 2

№ вар.	$\delta$ , мм	$\alpha_{mag}$ , град.	$\alpha_{ill}$ , град.	$M_{P\max}$ , Нм
1	0,7	35	9	0,218
2	1,3	35	12	0,029
3	1,5	34	7	0,016
4	1,3	33	10	0,057
5	1,4	33	11	0,069
6	0,7	35	8	0,22
7	1,1	34	11	0,029
8	0,7	32	11	0,155
9	1,6	36	7	0,037
10	1,3	34	8	0,011
11	1,1	35	8	0,075
12	1,6	35	10	0,011

13	0,9	35	6	0,136
14	1,6	33	6	0,027
15	1,5	34	11	0,037
16	1,1	32	10	0,11
17	1,2	34	10	0,021
18	1,3	32	11	0,11
19	1,3	34	7	0,0092

Как следует из представленных в таблице 2 данных, лучшим вариантом является вариант № 19, для которого  $M_{P\max} = 0,0092 \text{ Нм}$ .

Анализ полученных результатов показывает целесообразность сужения области поиска в окрестность значений  $\delta = 1,3 \text{ мм}$ ,  $\alpha_{mag} = 34 \text{ град.}$ ,  $\alpha_{uil} = 7 \text{ град.}$ , принадлежащих варианту № 19. Исходя из этого, второй этап расчетных исследований был проведен с применением методики рационального планирования эксперимента [5] при вариации трех переменных на 5 уровнях (табл. 3). Классическая схема полного исследования влияния трех факторов, каждый из которых может принимать пять различных значений, требует расчета  $5^3 = 125$  различных вариантов. В соответствии с [5] выбрана схема планирования, при которой надо исследовать только 25 вариантов. В таблице 4 (столбцы 2–4) приведены уровни факторов для каждого варианта выполненных расчетов магнитного поля.

Таблица 3

Переменная	Размерность	Уровни факторов				
		1	2	3	4	5
$\delta$	мм	1,2	1,25	1,3	1,35	1,4
$\alpha_{mag}$	град.	33	33,5	34	34,5	35
$\alpha_{uil}$	град.	6	6,5	7	7,5	8

Результаты полевых расчетов – значения амплитуды реактивного момента  $M_{P\max}$  – приведены в столбце 8 таблицы 4.

Таблица 4

№ вар.	$\delta$	$\alpha_{mag}$	$\alpha_{uil}$	$\delta$ , мм	$\alpha_{mag}$ , град.	$\alpha_{uil}$ , град.	$M_{P\max}$ , Нм
1	2	3	4	5	6	7	8
1	1	4	3	1,2	34,5	7	0,03718
2	2	1	4	1,25	33	7,5	0,03329
3	3	5	1	1,3	35	6	0,03999
4	4	2	5	1,35	33,5	8	0,02318
5	5	3	2	1,4	34	6,5	0,00934
6	1	1	2	1,2	33	6,5	0,02361
7	2	5	3	1,25	35	7	0,04700
8	3	2	4	1,3	33,5	7,5	0,01954
9	4	3	1	1,35	34	6	0,01118
10	5	4	5	1,4	34,5	8	0,01228
11	1	5	5	1,2	35	8	0,05241
12	2	2	2	1,25	33,5	6,5	0,01434
13	3	3	3	1,3	34	7	0,00922
14	4	4	4	1,35	34,5	7,5	0,01929

15	5	1	1	1,4	33	6	0,02435
16	1	2	1	1,2	33,5	6	0,01113
17	2	3	5	1,25	34	8	0,00879
18	3	4	2	1,3	34,5	6,5	0,02665
19	4	1	3	1,35	33	7	0,03144
20	5	5	4	1,4	35	7,5	0,03008
21	1	3	4	1,2	34	7,5	0,01569
22	2	4	1	1,25	34,5	6	0,03286
23	3	1	5	1,3	33	8	0,03958
24	4	5	2	1,35	35	6,5	0,03500
25	5	2	3	1,4	33,5	7	0,02058

Из представленных в таблице 4 данных следует, что лучшим вариантом является вариант № 17, для которого  $M_{P\max} = 0,0088$  Нм при следующих геометрических размерах:  $\delta = 1,25$  мм,  $\alpha_{mag} = 34$  град.,  $\alpha_{uul} = 8$  град. Очевидно, что второй этап поиска не дал существенного снижения величины  $M_{P\max}$ . И на первом, и на втором этапах отношение момента  $M_{P\max}$  к номинальному моменту в лучших вариантах составляет менее 1%, что свидетельствует о нецелесообразности проведения дальнейших поисковых исследований с целью снижения величины  $M_{P\max}$ .

Определенный интерес представляет оценка влияния геометрических соотношений на форму и амплитуду реактивного момента. Как показано в [3] для снижения величины  $M_{P\max}$  увеличивают частоту изменения функции  $M_P = f(\Theta)$ . Для этого на полюсных наконечниках статора выполняют различное количество вырезов прямоугольной или овальной формы. Такой путь приводит к усложнению конструкции штампа для вырубки пластин статора ВДПМ. Покажем, что эффект снижения величины  $M_{P\max}$  наблюдается без усложнения технологии производства. Для этого рассмотрим изменение формы функции  $M_P = f(\Theta)$  для трех вариантов из табл. 4: № 15 ( $\delta = 1,4$  мм,  $\alpha_{mag} = 33$  град.,  $\alpha_{uul} = 6$  град.), № 21 ( $\delta = 1,2$  мм,  $\alpha_{mag} = 34$  град.,  $\alpha_{uul} = 7,5$  град.), № 17 ( $\delta = 1,25$  мм,  $\alpha_{mag} = 34$  град.,  $\alpha_{uul} = 8$  град.) (рис. 4).

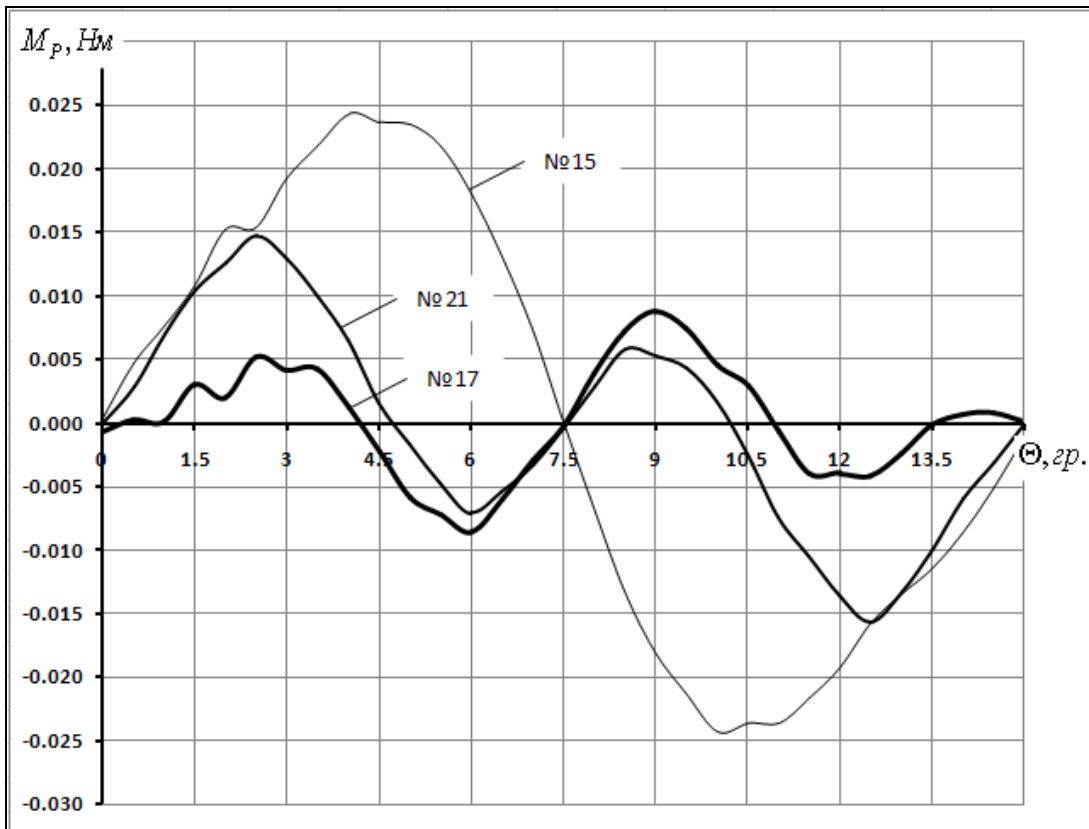


Рис. 4.

Наибольшая амплитуда реактивного момента наблюдается в варианте № 15, где величина первой (основной) гармоники составляет 93,8% от  $M_{P\max} = 0,0244$  Нм. При переходе к варианту № 21 функция  $M_P = f(\Theta)$  имеет уже две весомые гармоники – первую и вторую (соответственно 45,5% и 51,8% от  $M_{P\max} = 0,0157$  Нм). В варианте № 17 амплитуда первой гармоники становится пренебрежимо малой, а основной вклад вносят вторая и третья гармоники с процентным отношением 54,6% и 41% к величине  $M_{P\max} = 0,0088$  Нм.

Сказанное выше проиллюстрировано на рис. 5, где показана гистограмма амплитуд гармоник  $M_{P_V}$ , содержащихся в зависимости  $M_P = f(\Theta)$ , от номера гармоники  $V$  для трех расчетных вариантов.

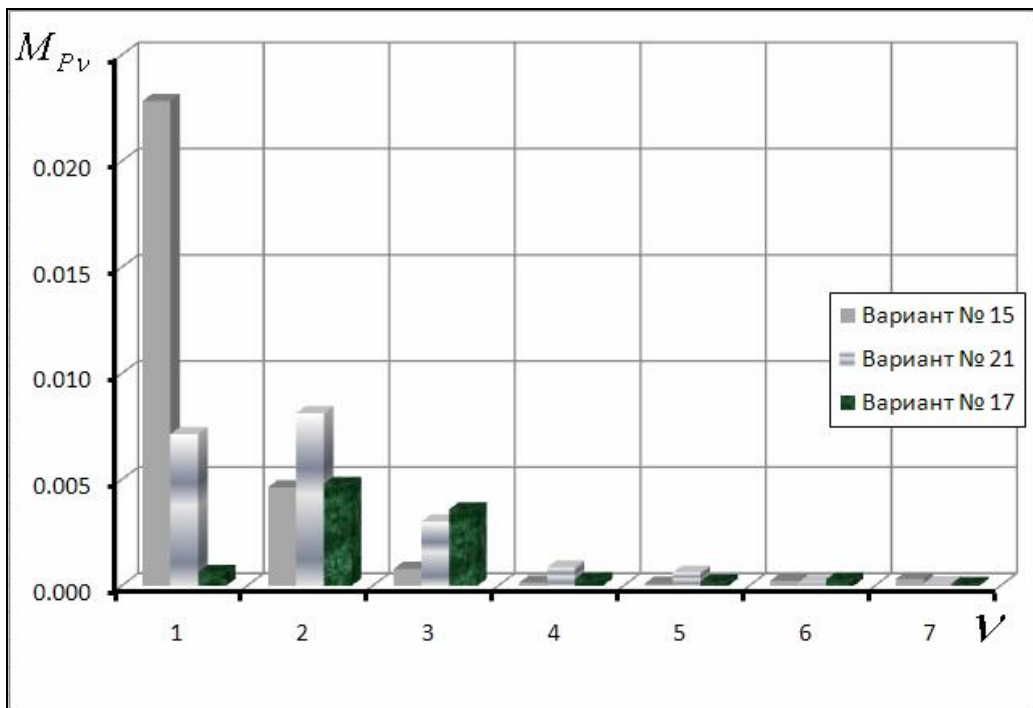


Рис. 5.

Таким образом, варьируя геометрическими размерами активной зоны ВДПМ, можно получить уменьшение периода изменения функции  $M_p = f(\Theta)$  и, соответственно, существенное снижение амплитуды реактивного момента.

На рис. 6 представлено семейство зависимостей электромагнитного момента  $M = f(\Theta)$  при различных значениях тока статора  $I_s$ , рассчитанных для сочетания геометрических размеров, соответствующих варианту № 17. Из данных зависимостей видно, что проведенная минимизация  $M_{P\max}$  позволила практически исключить влияние реактивного момента на форму  $M = f(\Theta)$  в рабочем диапазоне тока  $I_s$ .

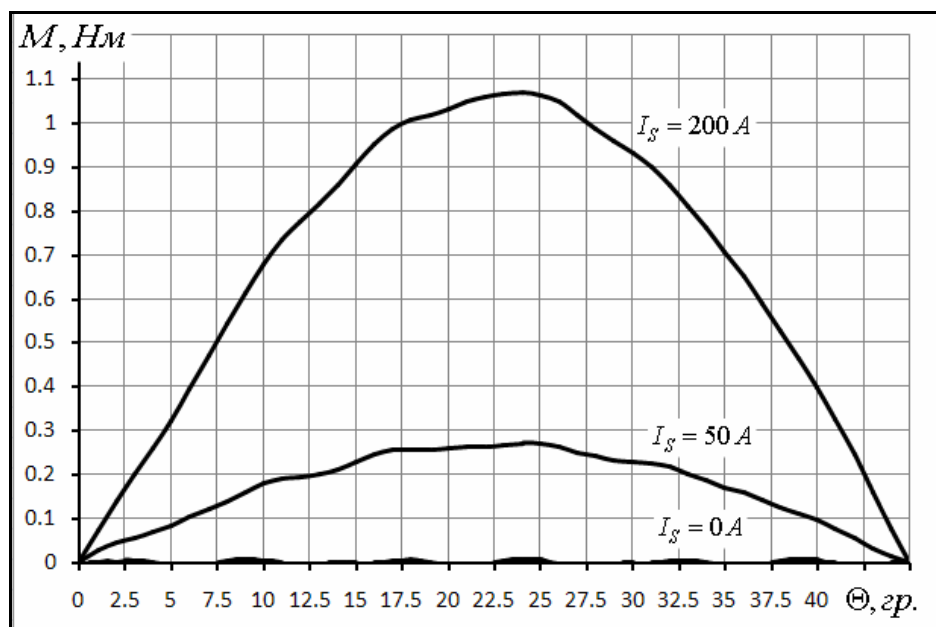


Рис. 6.

## Список использованной литературы

1. Овчинников И.Е. Вентильные электрические двигатели и привод на их основе. СПб.: КОРОНА-Век, 2007. – 336 с.
2. Ткачук В. Електромеханотроніка: Підручник. – Львів: Видавництво НУ «Львівська політехніка», 2006. – 440 с.
3. Bolognani S., Bianchi N., Malesani L., Zigliotto M., Cervaro S. Brushless motor drives for ventilation // Department of Electrical Engineering, University of Padova, Italy, 2003.
4. Радимов И.Н., Рымша В.В., Гулый М.В., Процина З.П., Чан Тхи Тху Хыонг Разработка вентильных двигателей с постоянными магнитами на базе штампа статора реактивной машины // Электротехника и электромеханика. – 2008. - № 1. – С. 41-43.
5. Протодьяконов М.М., Тедер Р.И. Методика рационального планирования экспериментов. – М.: Наука, 1970. – 76 с.